

# Bestrahlungsplanung der STX beim Pankreas CA

Priv.-Doz. Dr. Christos Moustakis

# Bestrahlungsplanung der STX beim **(Pankreas CA)**

Priv.-Doz. Dr. Christos Moustakis

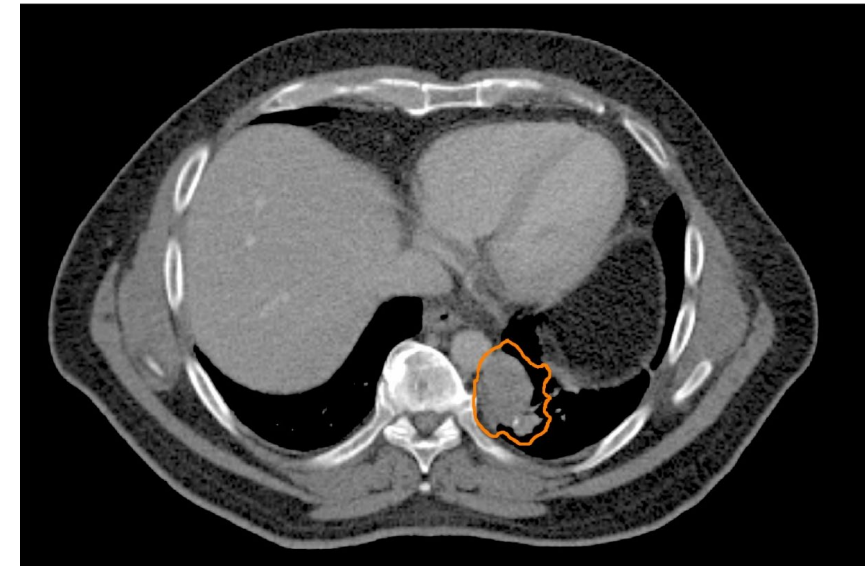
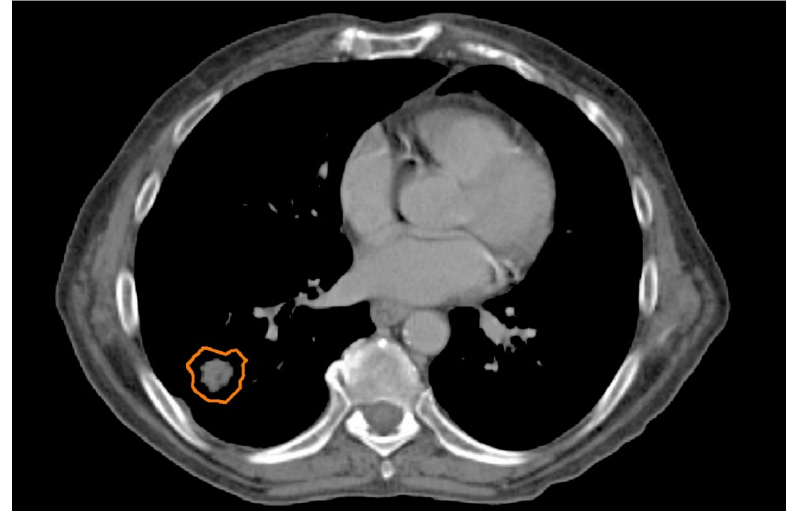
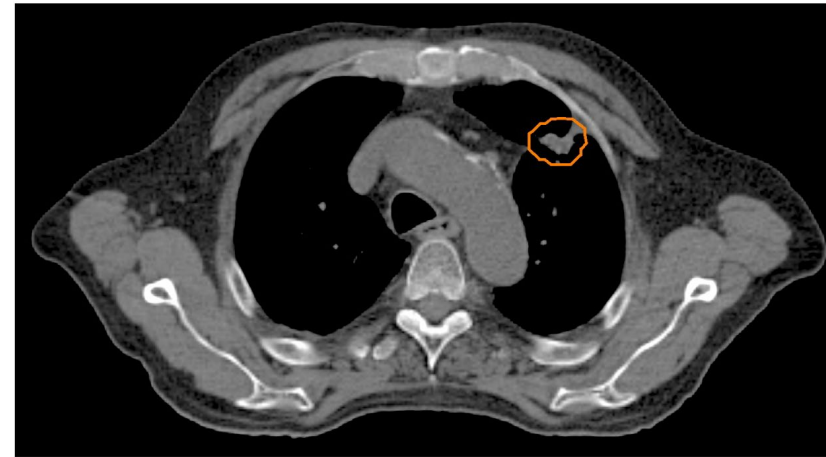
# Lunge-Studie

ORIGINAL ARTICLE

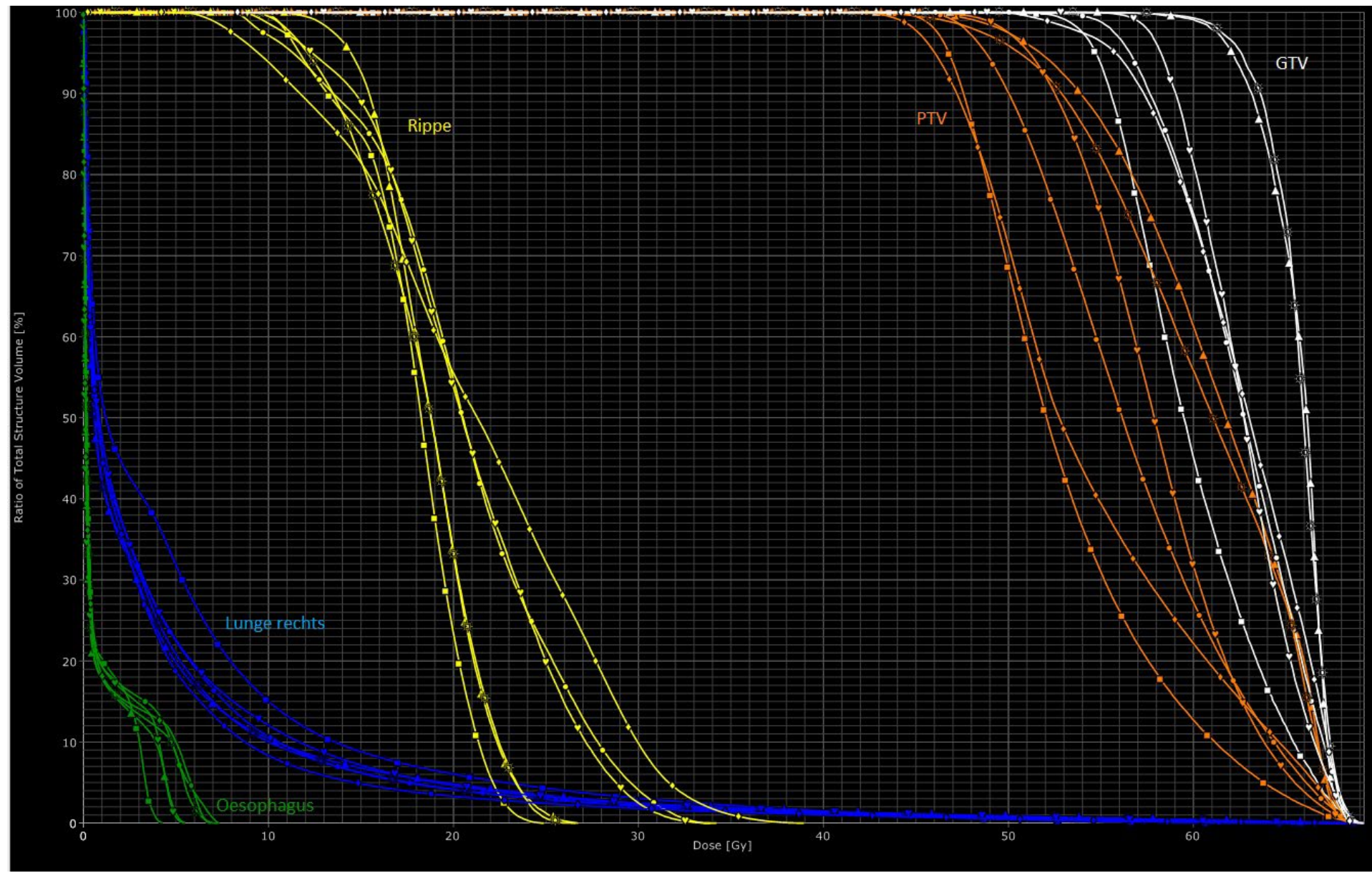
## Planning benchmark study for SBRT of early stage NSCLC

### Results of the DEGRO Working Group Stereotactic Radiotherapy

Christos Moustakis<sup>1,2</sup>  · Oliver Blanck<sup>3,4</sup> · Fatemeh Ebrahimi Tazehmahalleh<sup>1,5</sup> · Mark ka heng Chan<sup>3</sup> · Iris Ernst<sup>1,2</sup> · Thomas Krieger<sup>6</sup> · Marciana-Nona Duma<sup>7</sup> · Markus Oechsner<sup>7</sup> · Ute Ganswindt<sup>8</sup> · Christian Heinz<sup>8</sup> · Horst Alheit<sup>9</sup> · Hilbert Blank<sup>9</sup> · Ursula Nestle<sup>10</sup> · Rolf Wiehle<sup>10</sup> · Christine Kornhuber<sup>11</sup> · Christian Ostheimer<sup>11</sup> · Cordula Petersen<sup>12</sup> · Gerhard Pollul<sup>13</sup> · Wolfgang Baus<sup>14</sup> · Georg Altenstein<sup>14</sup> · Eric Beckers<sup>15</sup> · Katrin Jurianz<sup>15</sup> · Florian Sterzing<sup>16</sup> · Matthias Kretschmer<sup>17</sup> · Heinrich Seegenschmiedt<sup>18</sup> · Torsten Maass<sup>18</sup> · Stefan Droege<sup>19</sup> · Ulrich Wolf<sup>20</sup> · Juergen Schoeffler<sup>21</sup> · Uwe Haverkamp<sup>1,2</sup> · Hans Theodor Eich<sup>1,2</sup> · Matthias Guckenberger<sup>22</sup>



3 x 15Gy auf die  
PTV-umschließende 65%-Isodose  
22 Inst., 87 Pläne  
36 IMAT, 21 3DCRT, 15 CK, 9 TT und 6 SF-IMR

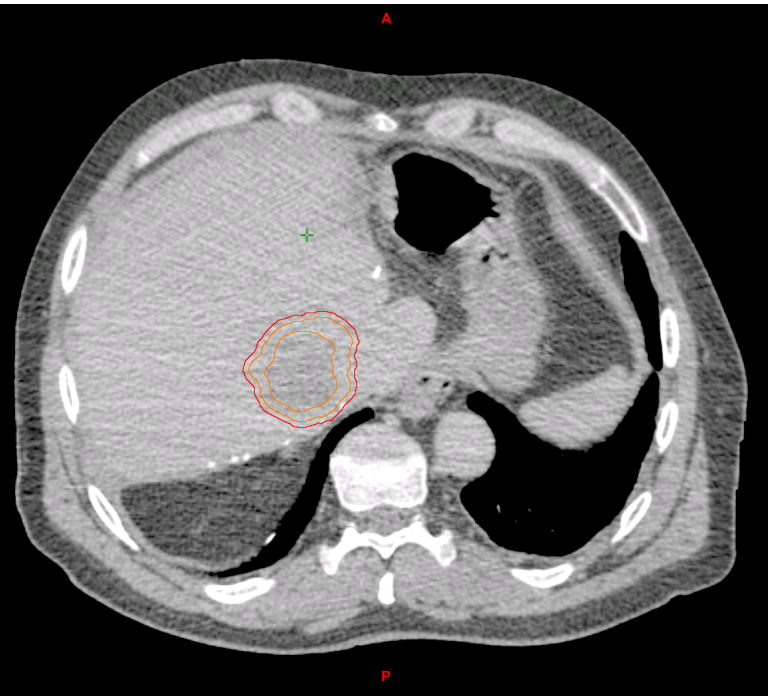


- Unterschiede zwischen den Anwender
- Homogenität in PTV (0,3-0,4)
- Art der Optimierung!
- Dosis Vorgaben für die Risiko Organe!
- Verschreibung?
- Planvergleich wichtig um die SBRT-Planung auf nationaler Ebene zu harmonisieren.

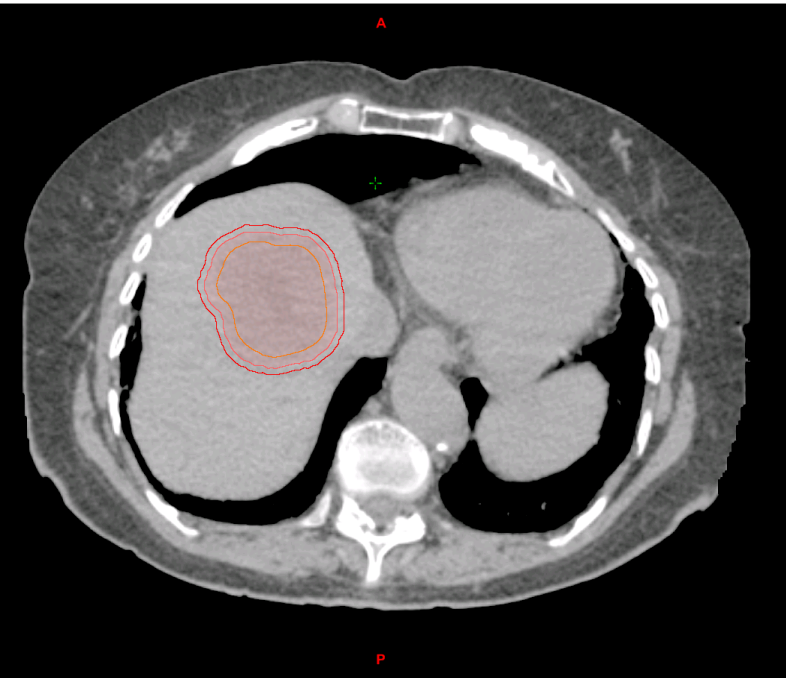
# Leber-Studie

## Planning Benchmark Study for Stereotactic Body Radiation Therapy of Liver Metastases: Results of the DEGRO/DGMP Working Group on Stereotactic Radiation Therapy and Radiosurgery

Christos Moustakis, PhD,<sup>1</sup> Oliver Blanck, PhD,<sup>2,3</sup> Mark ka heng Chan, PhD,<sup>2</sup> Judit Boda-Heggemann, MD, PhD,<sup>4</sup> Nicolaus Andratschke, MD,<sup>5</sup> Marciana-Nona Duma, MD,<sup>6,7</sup> Dirk Albers, MSc,<sup>8</sup> Christian Bäumer, PhD,<sup>9</sup> Roman Fehr, PhD,<sup>10</sup> Stefan A. Körber, MD,<sup>11</sup> Daniel Schmidhalter, MSc,<sup>12</sup> Manfred Alraun, PhD,<sup>13</sup> Wolfgang W. Baus, PhD,<sup>14</sup> Eric Beckers, MSc,<sup>15</sup> Mathias Dierl, PhD,<sup>16</sup> Stephan Droege, PhD,<sup>17</sup> Fatemeh Ebrahimi Tazehmahalleh, PhD,<sup>1,14</sup> Jens Fleckenstein, PhD,<sup>4</sup> Matthias Guckenberger, MD,<sup>5</sup> Christian Heinz, PhD,<sup>18</sup> Christoph Henkenberens, MD,<sup>19</sup> Andreas Hennig, MSc,<sup>20</sup> Janett Köhn, PhD,<sup>3,21</sup> Christine Kornhuber, PhD,<sup>22</sup> Thomas Krieger, PhD,<sup>23</sup> Britta Loutfi-Krauss, MSc,<sup>3,21</sup> Manfred Mayr, MSc,<sup>24</sup> Markus Oechsner, PhD,<sup>6</sup> Tina Pfeiler, PhD,<sup>25</sup> Gerhard Pollal, MSc,<sup>25</sup> Jürgen Schöffler, MSc,<sup>26</sup> Heiko Tümmler, PhD,<sup>27</sup> Claudia Ullm, MSc,<sup>28</sup> Mathias Walke, PhD,<sup>29</sup> Rocco Weigel, MSc,<sup>30</sup> Martin Wertman, MSc,<sup>10,31</sup> Rolf Wiehle, PhD,<sup>32</sup> Tilo Wiezorek, PhD,<sup>7</sup> Lotte Wilke, PhD,<sup>3</sup> Ulrich Wolf, PhD,<sup>33</sup> Hans Theodor Eich, MD,<sup>1</sup> and Daniela Schmitt, PhD<sup>11,34</sup>



Verschreibung auf  
**GTV D50 = 3x20Gy = 100%**



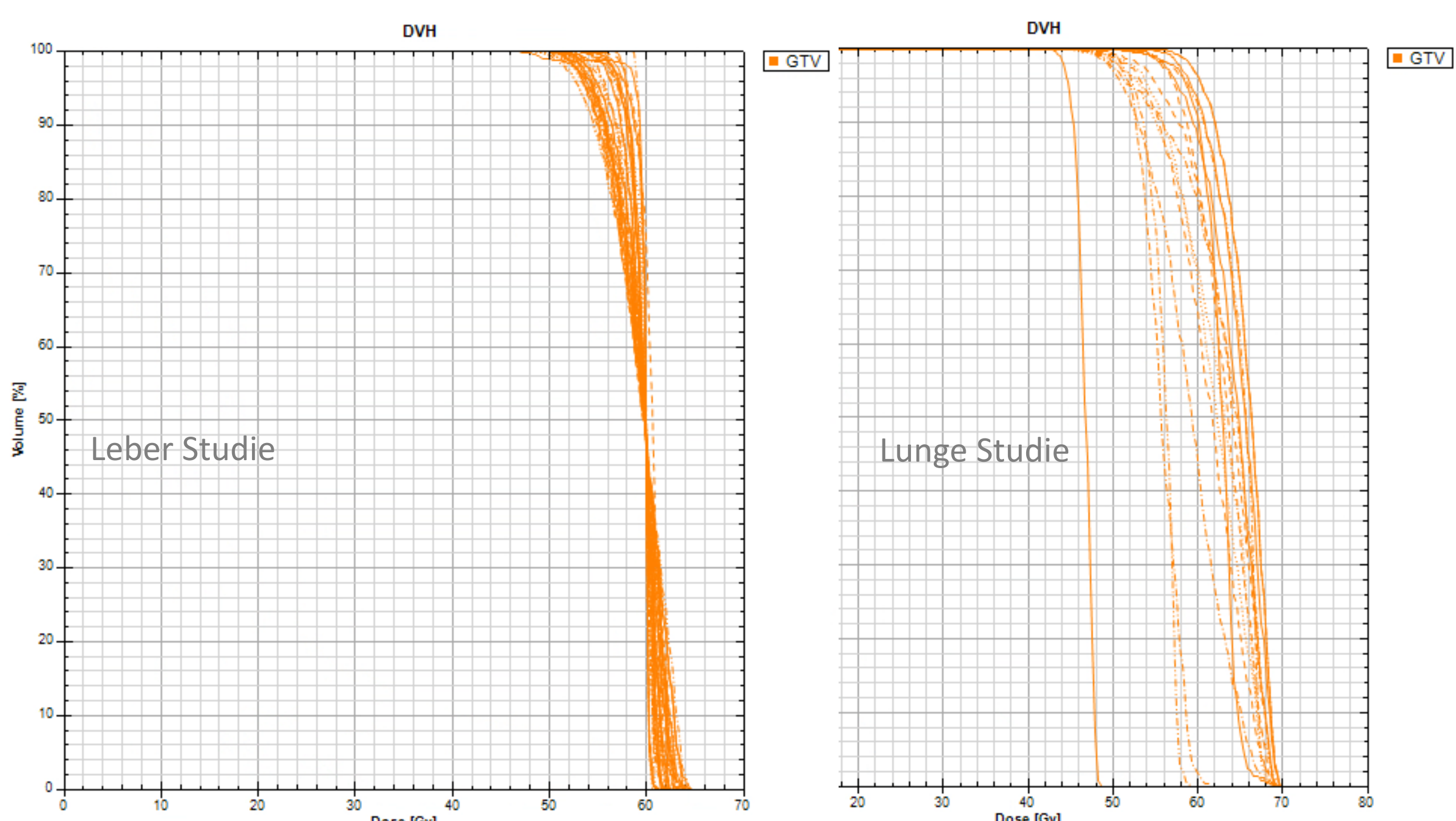
35 Inst., 660 Pläne (132 x 5 Verschreibungen)

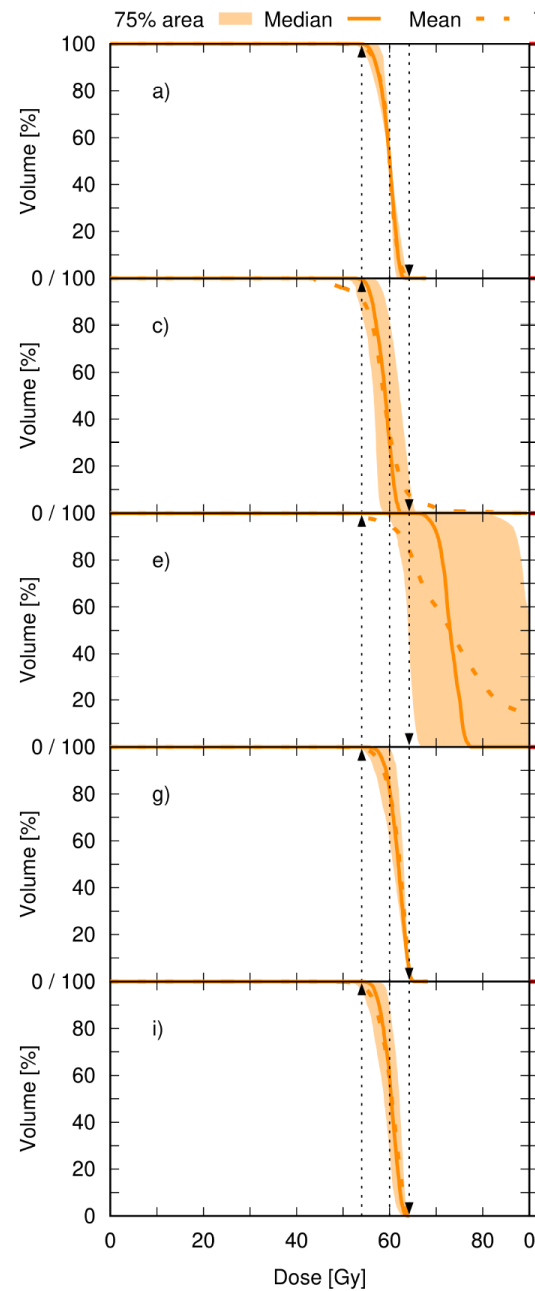
GTVD50%, PTVDmin, PTVD98%, PTVD2%, PTVDmax



# Planungsvorgaben

- Verschreibung auf **medianen GTV Dosis D50 = 3x20Gy = 100%**
- GTV ( $0.1 \text{ cm}^3$ ) < 107% (110%)
- GTV V90% (V54Gy) > 98% (95%)
- PTV V70% (V42Gy) > 98% (95%)
- Konformitäts-Index definiert als (V70% / PTV) < 1.2 (1.25)
- OARs:
  - Gesamt Leber minus V\_Leber\_15Gy (17Gy) > 700 cc,
  - Niere D33 < 15 Gy (17 Gy),
  - Herz DMax (1cc) < 30 Gy , Herz V24Gy < 10 cc (15 cc)
  - Darm, Duodenum, Jejunum (je einzeln)
  - DMax (0.1cc) < 24 Gy, V15Gy < 4cc (5cc), V18Gy < 1cc (1.5cc)
  - ALARA (!)





Prescription:

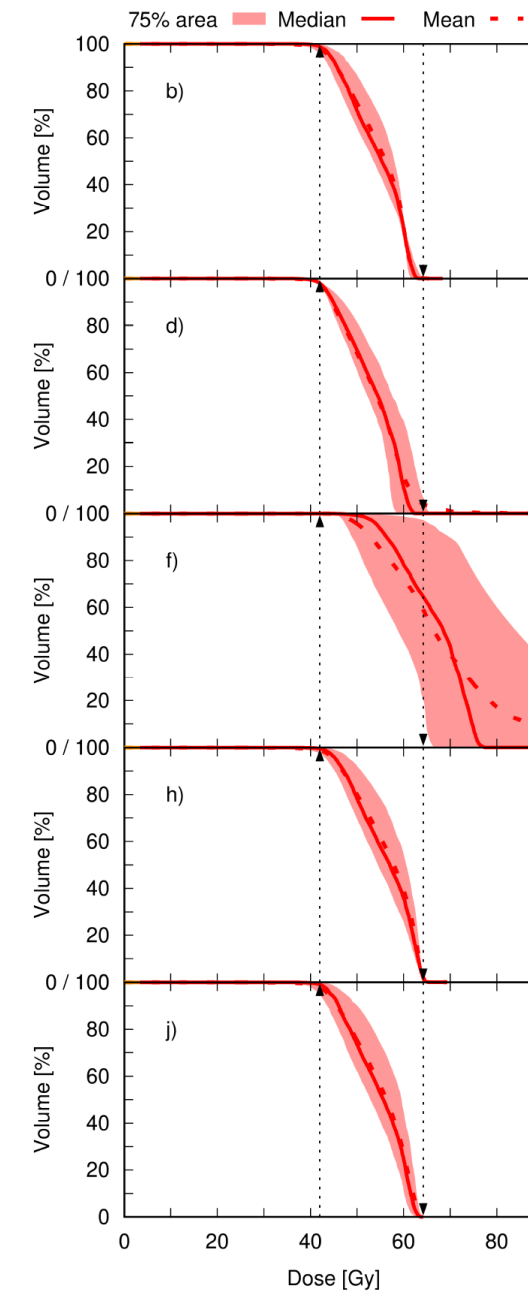
60 Gy to GTV D50%

42 Gy to PTV D98%

42 Gy to PTV Dmin

64,2 Gy to PTV D2%

64,2 Gy to PTV Dmax



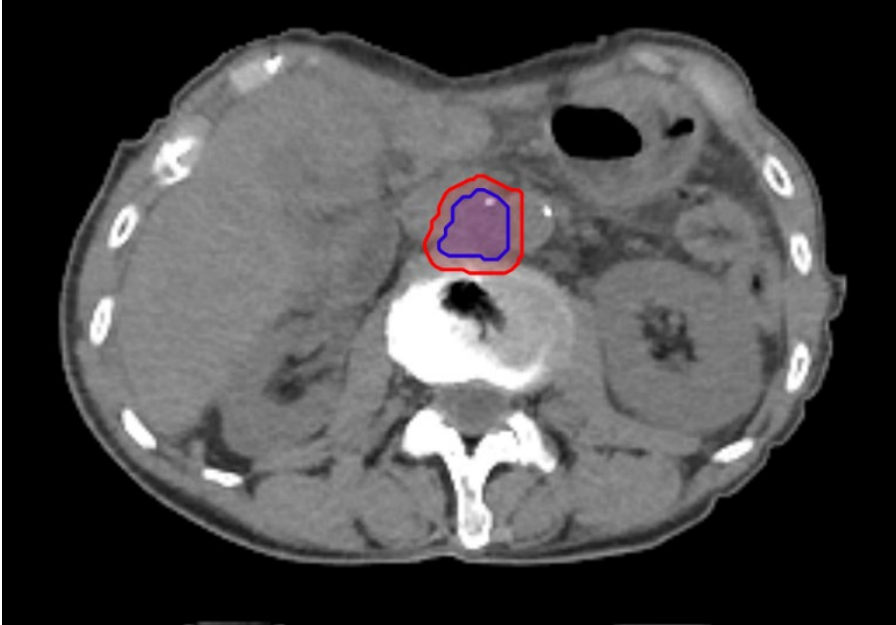
DVHs for different prescription methods for all plans of all cases. Clinical goals are marked with arrows.

For GTV (orange) and PTV (red) the median and mean curve and the area of the central 75% of data is shown.

# PACA-Studie

DGMP/DEGRO Working Group Stereotactic Radiotherapy and Radiosurgery

Associazione Italiana di Fisica Medica (AIFM) working group on physics aspects of SBRT (Participation)



42 Inst., 292 Plans

Phase 1 & 2 (Replanning)

Prescription A (5 fractions):  $D_{50\%}(GTV) = 5 \times 9.2 \text{ Gy} = 46 \text{ Gy (100\%)}$

Prescription B (8 fractions):  $D_{50\%}(GTV) = 8 \times 8.25 \text{ Gy} = 66 \text{ Gy (100\%)}$

## Prescription A (5 fractions):

- $D_{50\%}(GTV) = 5 \times 9.2 \text{ Gy} = \underline{46 \text{ Gy (100\%)}}$
- $D_{99\%}(PTV) = 33 \text{ Gy}$
- $D_{50\%}(PTV) = 44 \text{ Gy}$
- $D_{0.5\text{cm}^3}(PTV) = D_{0.5\text{cm}^3}(GTV) = 49.2 \text{ Gy}$
- $D_{0.5\text{cm}^3} = D_{\text{near max}}$
- $[D_{95\%}(PTV) = 40 \text{ Gy}]$
- $D_{99\%}(GTV) = 44.5 \text{ Gy}$
- $D_{\text{max}}(\text{Global}) = D_{\text{max}}(GTV)$

## Prescription B (8 fractions):

- $D_{50\%}(GTV) = 8 \times 8.25 \text{ Gy} = \underline{66 \text{ Gy (100\%)}}$
- $D_{99\%}(PTV) = 54 \text{ Gy}$
- $D_{50\%}(PTV) = 64 \text{ Gy}$
- $D_{0.5\text{cm}^3}(PTV) = D_{0.5\text{cm}^3}(GTV) = 72 \text{ Gy}$
- $D_{95\%}(PTV) = 60 \text{ Gy}$
- $D_{99\%}(GTV) = 61.2 \text{ Gy}$
- $D_{\text{max}}(\text{Global}) = D_{\text{max}}(GTV)$

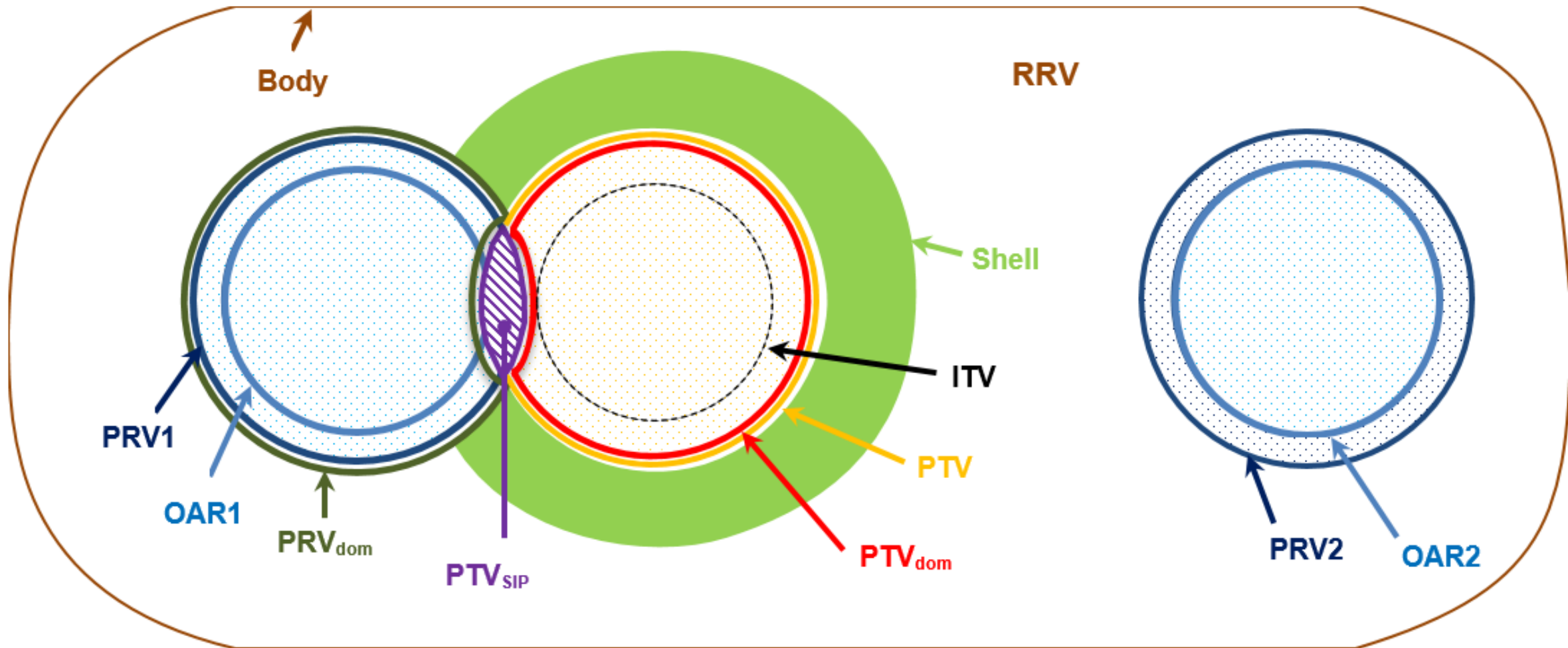
Description	Constraint	5 fractions	8 fractions	
Aorta	<b>Table 6 Timmerman tables, 5 fractions—Timmerman, 8-2021</b>			
Colon				
Duodenum				
Esophagus	<b>Table 7 Timmerman tables, 8 fractions—Timmerman, 8-2021</b>			
Heart				
Jejunum				
Kidneys (individual and combined)				
If solitary kidney or if one kidney mean dose >10 Gy				
Normal liver				
Spinal Canal				
Stomach				
Vena Cava				
				Volume 11: Timmerman
	<b>Serial tissue</b>	<b>Volume</b>	<b>Volume max (Gy)</b>	<b>Max point dose (Gy)*</b>
	Optic pathway	<0.2 cm <sup>3</sup>	23	25
	Cochlea			Neuritis
	Brain stem			
	Spinal cord			
	Cauda equina			
	Sacral plexus			
	Esophagus	<0.5 cm <sup>3</sup>	27.2	29.6
	Brachial plexus	<0.35 cm <sup>3</sup>	26.4	26.4
	Peripheral nerve	<5 cm <sup>3</sup>	34	37.6
	Heart/pulmonary veins	<5 cm <sup>3</sup>	34	33.6
	Great vessels	<5 cm <sup>3</sup>	36.8	38.4
	Trachea	<3 cm <sup>3</sup>	32.8	43.2
	Bronchus	<2 cm length	37	39.2
	Rib	<15 cm <sup>3</sup>	34.4	40
	Skin	<10 cm <sup>3</sup>	55.2	62
	Stomach	<5 cm <sup>3</sup>	50	56
	Bile duct	<0.5 cm <sup>3</sup>	38.4	48.8
	Duodenum	<5 cm <sup>3</sup>	50	63
	Jejunum	<10 cm <sup>3</sup>	43.2	45.6
	Colon	<5 cm <sup>3</sup>	31.2	42
	Rectum	<5 cm <sup>3</sup>	31.2	48
	Ureter	<30 cm <sup>3</sup>	28.8	42
	Bladder	<20 cm <sup>3</sup>	35.2	40
	Penile bulb	<3.5 cm <sup>3</sup>	56	57.5
	Femoral heads	<20 cm <sup>3</sup>	45	61.5
	Renal hilum	<15 cm <sup>3</sup>		
	<b>Parallel</b>			
	Lung (right)	<15 cm <sup>3</sup>	22.4	53
	Lung (right)	<3 cm <sup>3</sup>	35	44.8
	Liver	<10 cm <sup>3</sup>	35	Stenosis
	Renal cortex	15 cm <sup>3</sup>	28	Cystitis/fistula
	<b>Parallel tissue</b>	<b>Critical volume (cm<sup>3</sup>)</b>	<b>Critical volume dose max (Gy)</b>	<b>Endpoint (grade ≥3)</b>
	Lung (right and left)	1500 for males and 950 for females <sup>†</sup>	14.4	Basic lung function
	Lung (right and left)			Pneumonitis
	Liver	700 <sup>‡</sup>	24.8	Basic liver function
	Renal cortex (right and left)	200 <sup>‡</sup>	20	Basic renal function
	*	"Point" defined as ≤0.035 cm <sup>3</sup> .		
	†	Avoid circumferential irradiation.	V-15.2 Gy <37%	
	‡	One-third of the "native" total organ volume (before any resection or volume reducing disease), whichever is greater.		

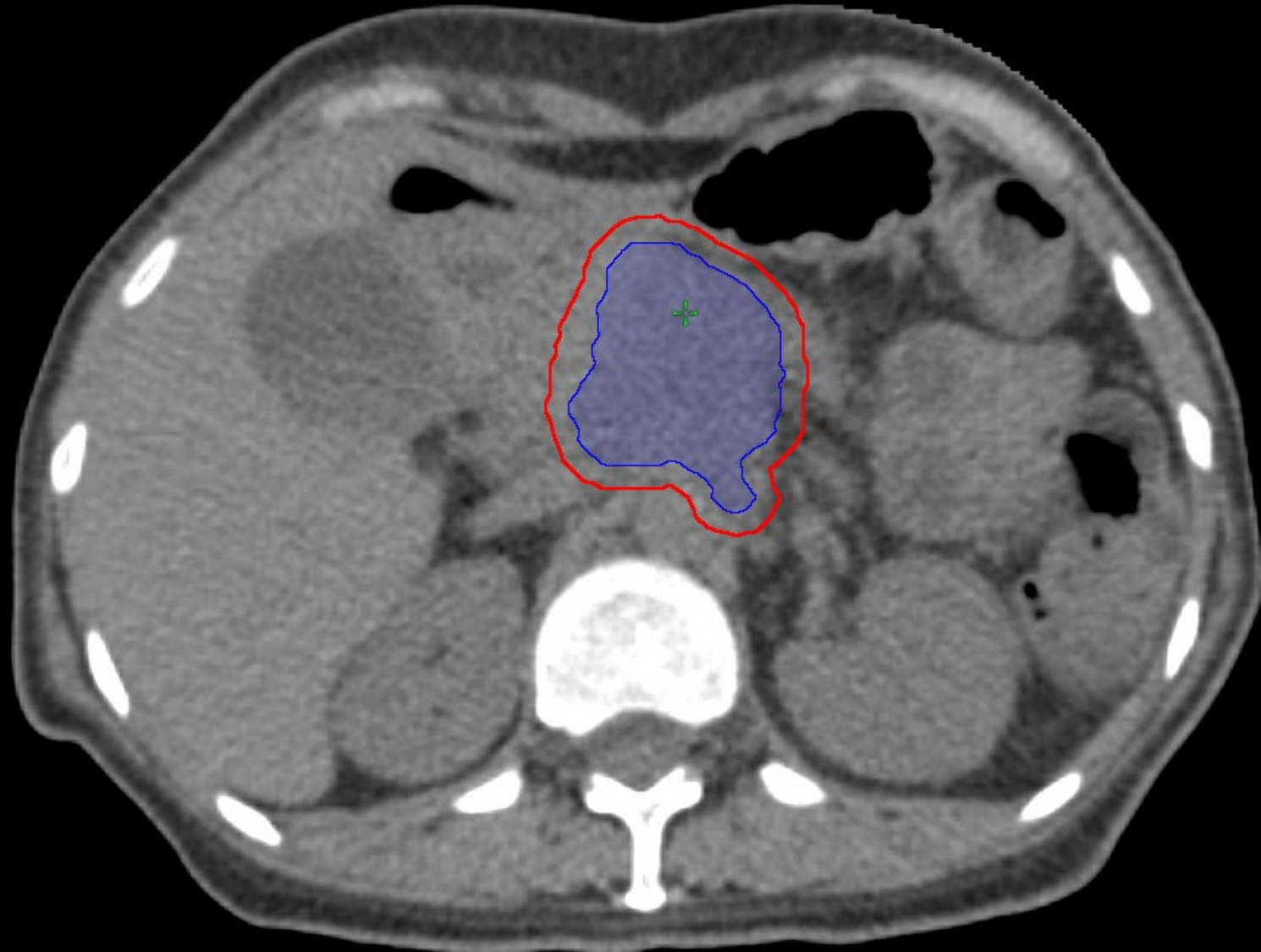
Adapted from Hanna et al. Clinical oncology

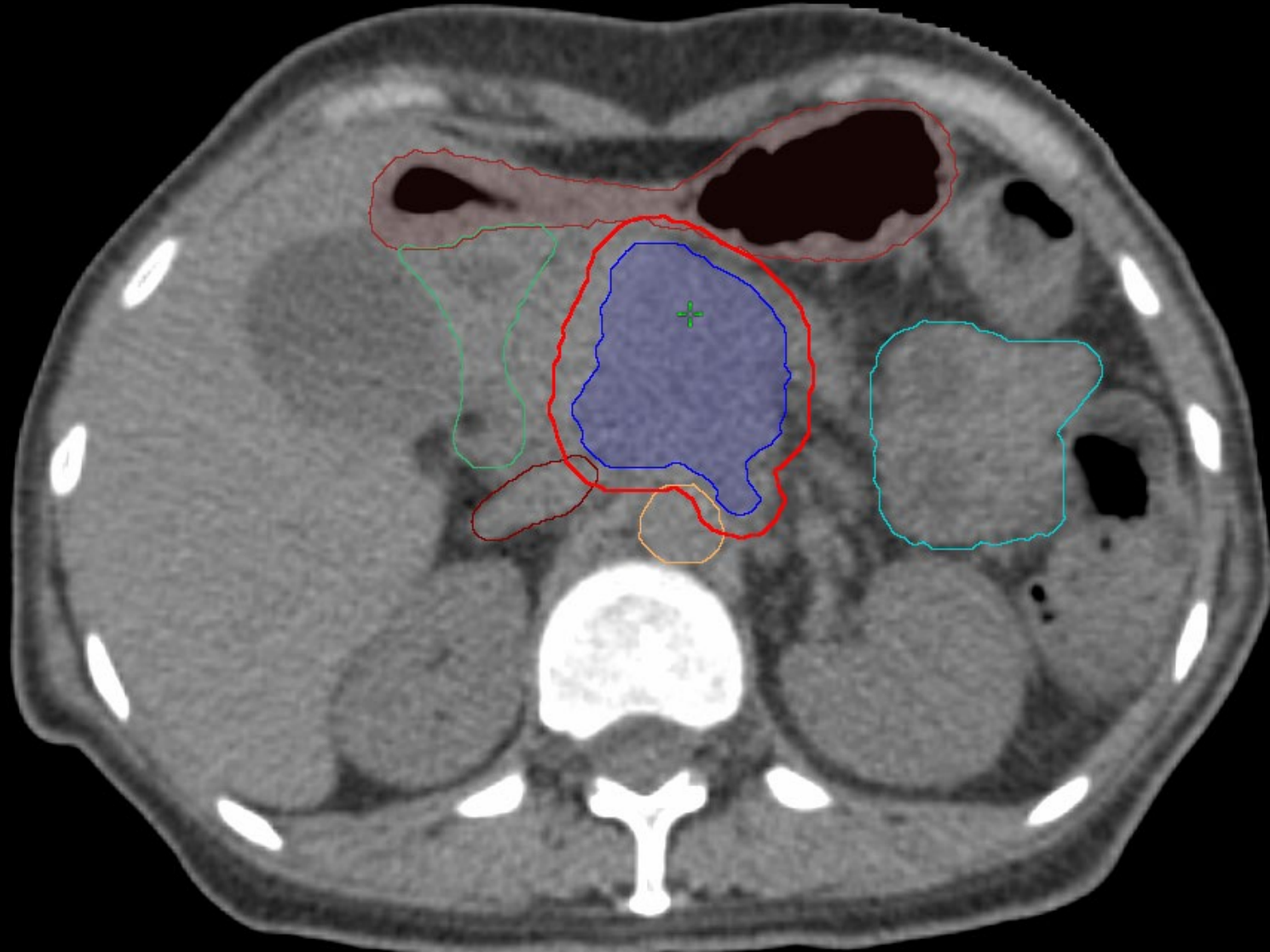
\*\* De Rose et al. Physica Medica 2017

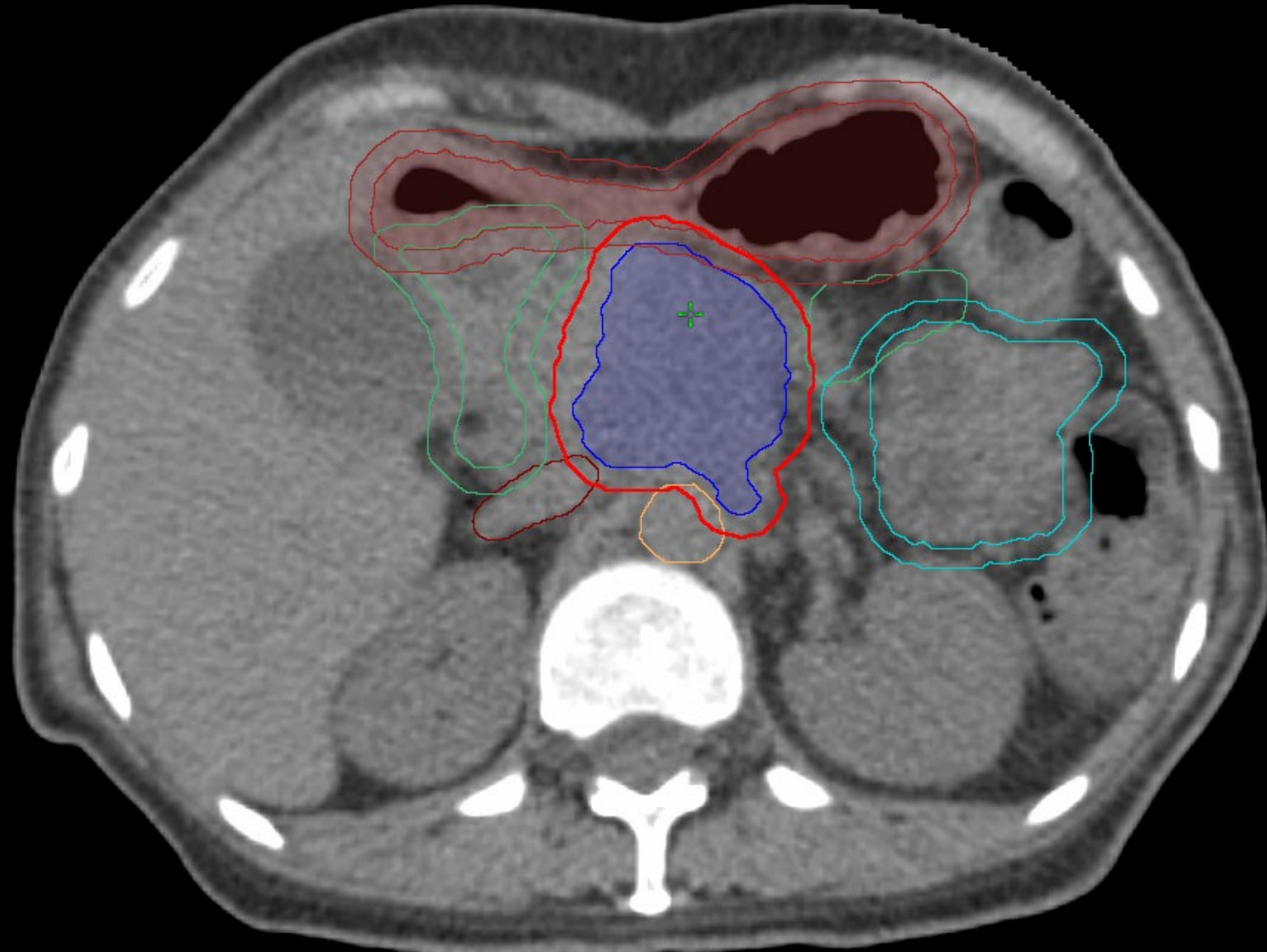
# SIP (Simultaneously Integrated Protection) concept

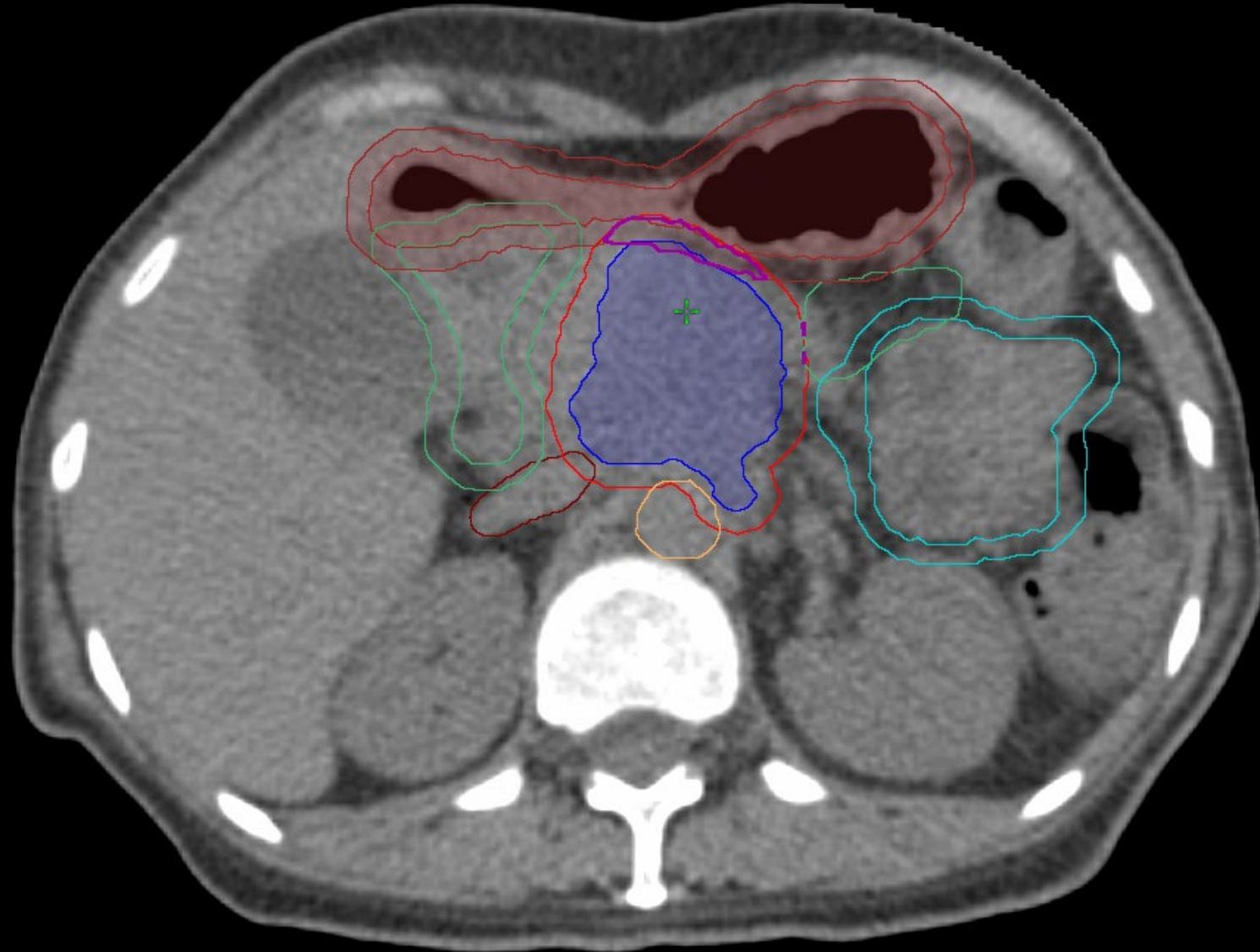
...Phase 2

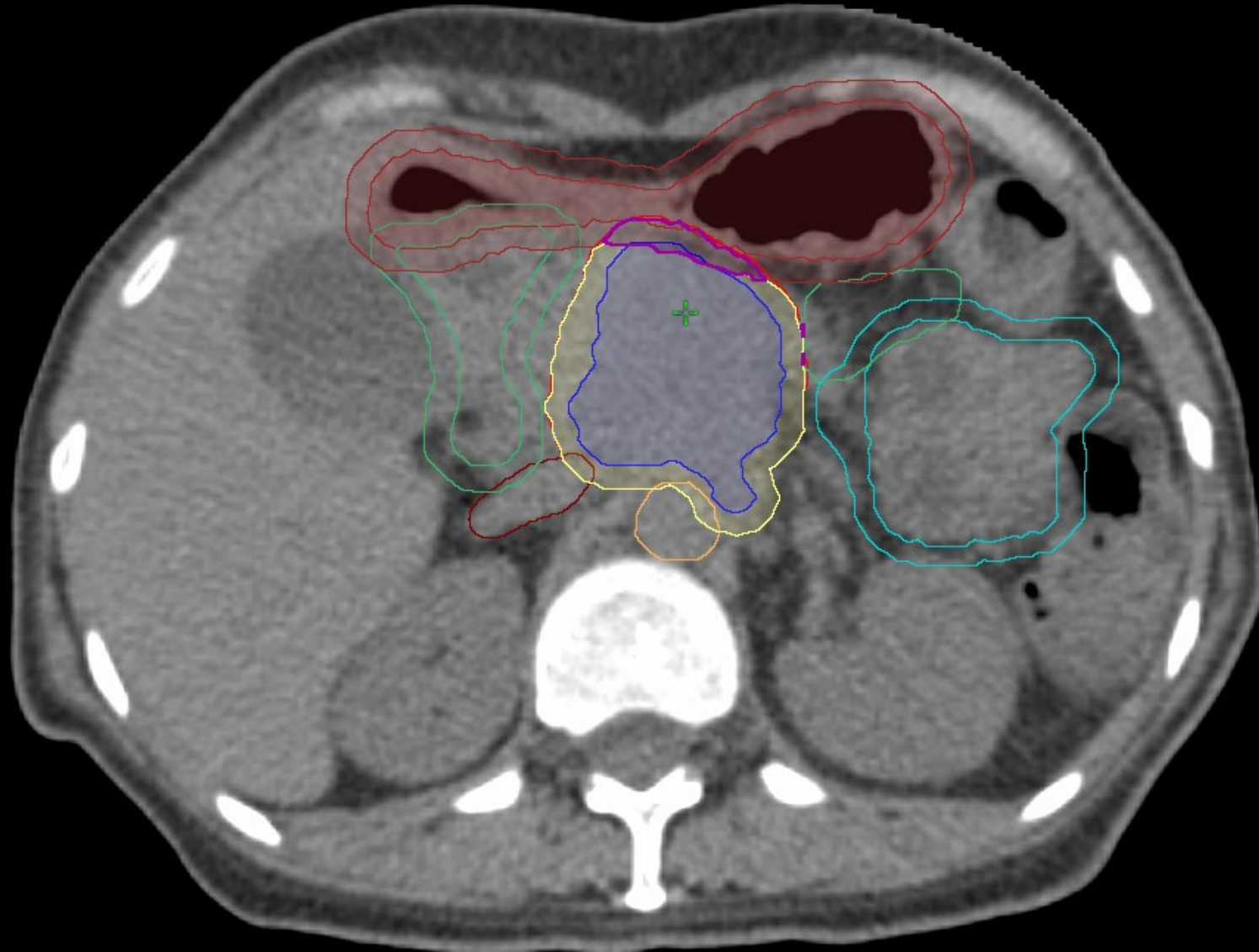


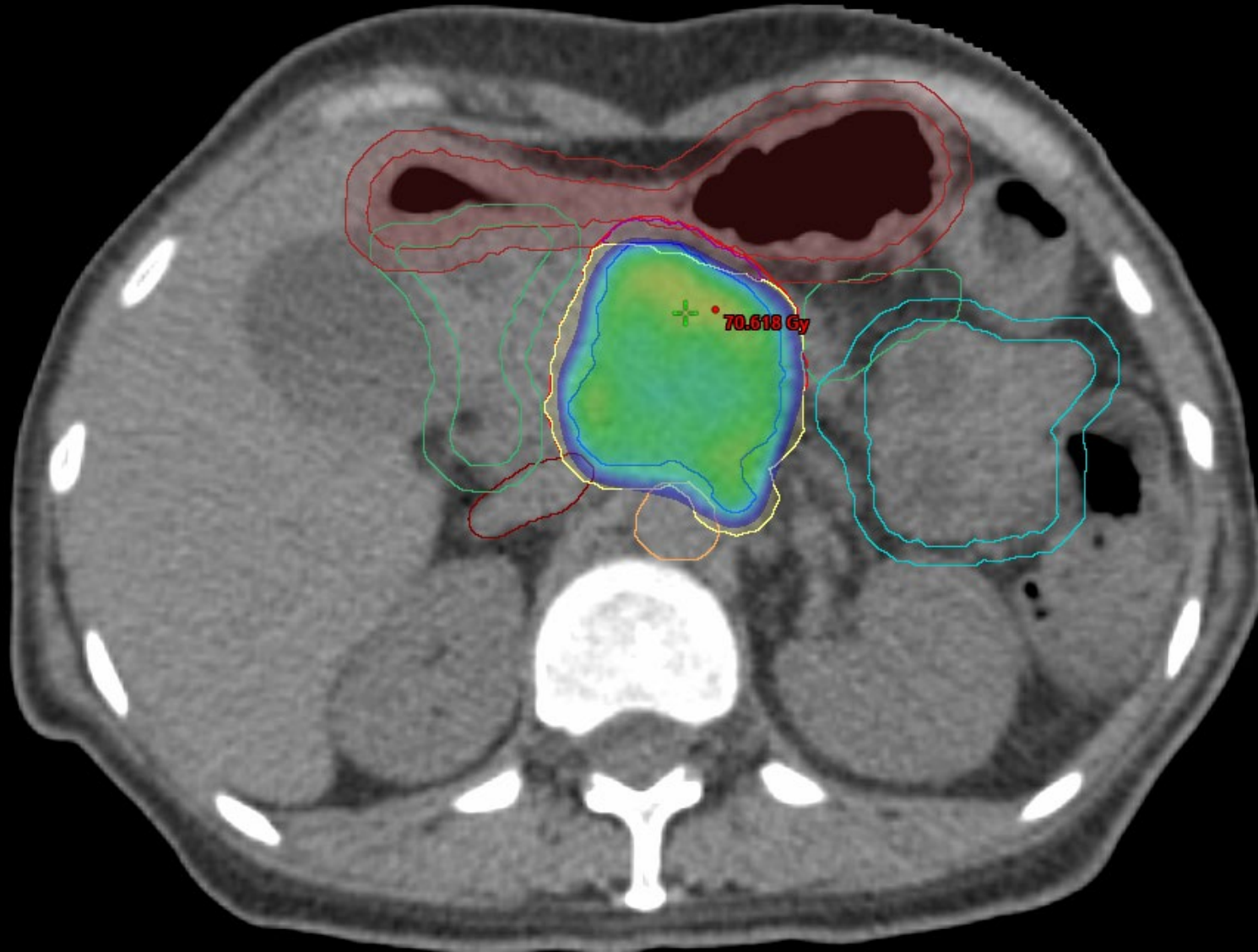


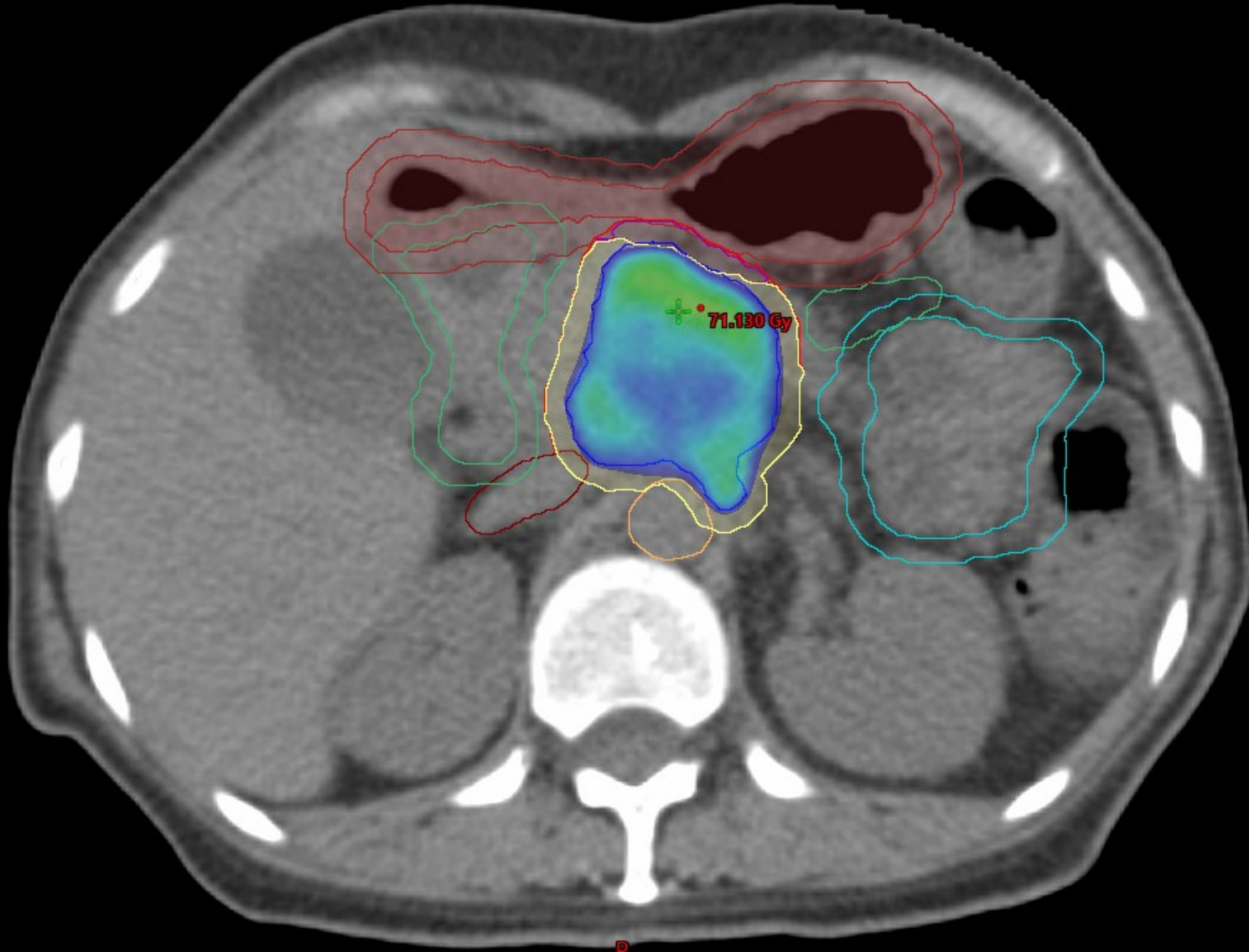


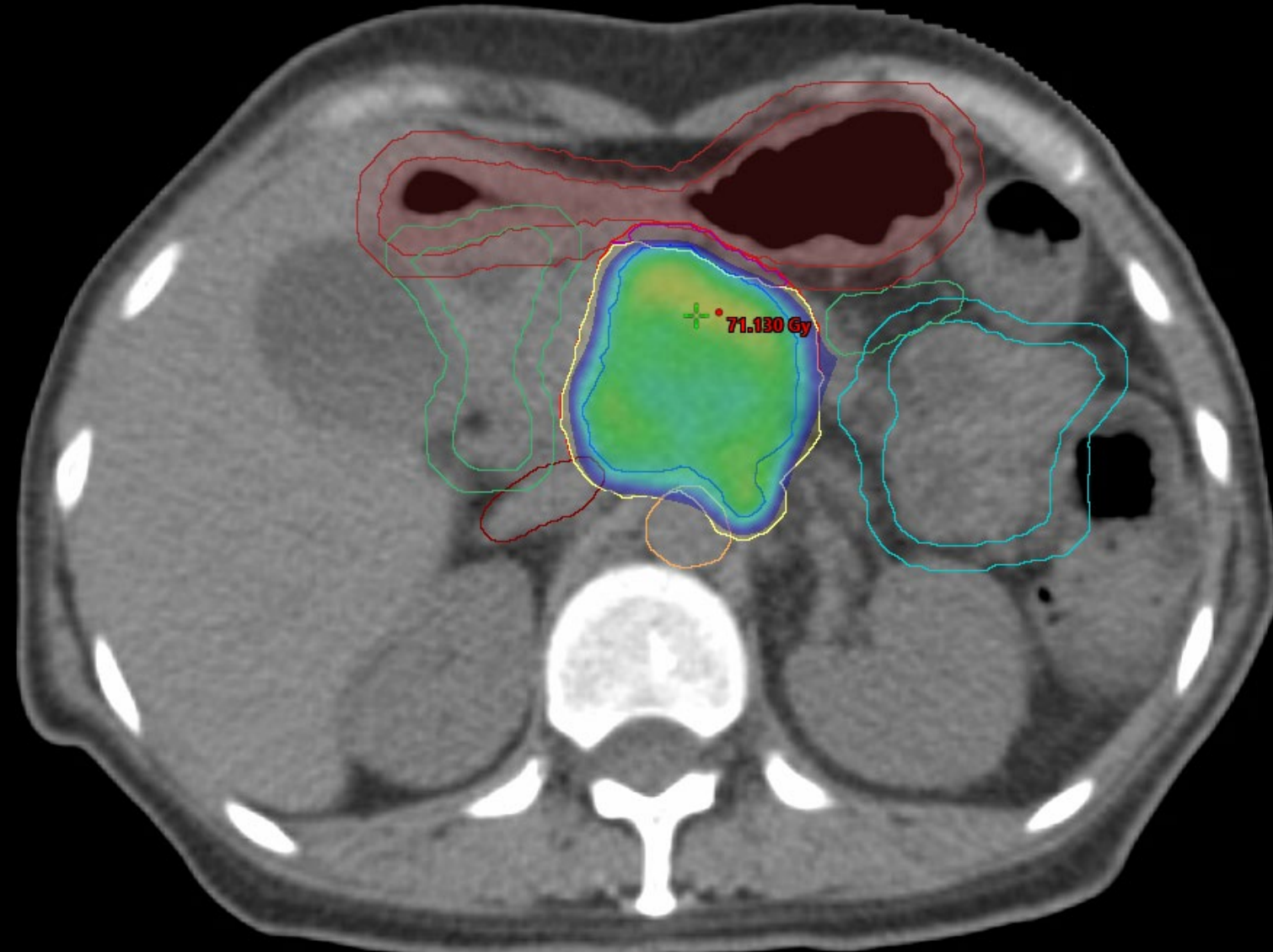




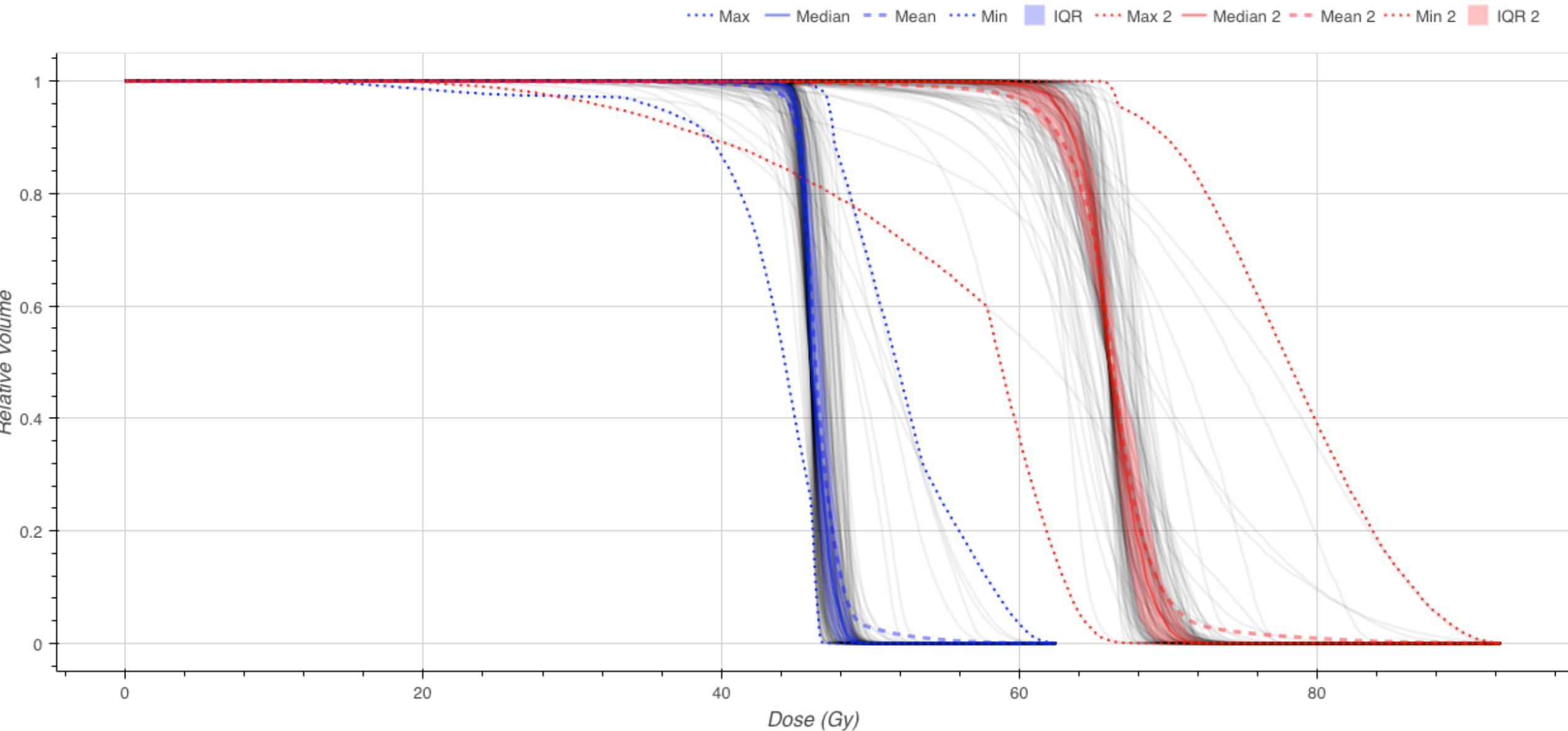




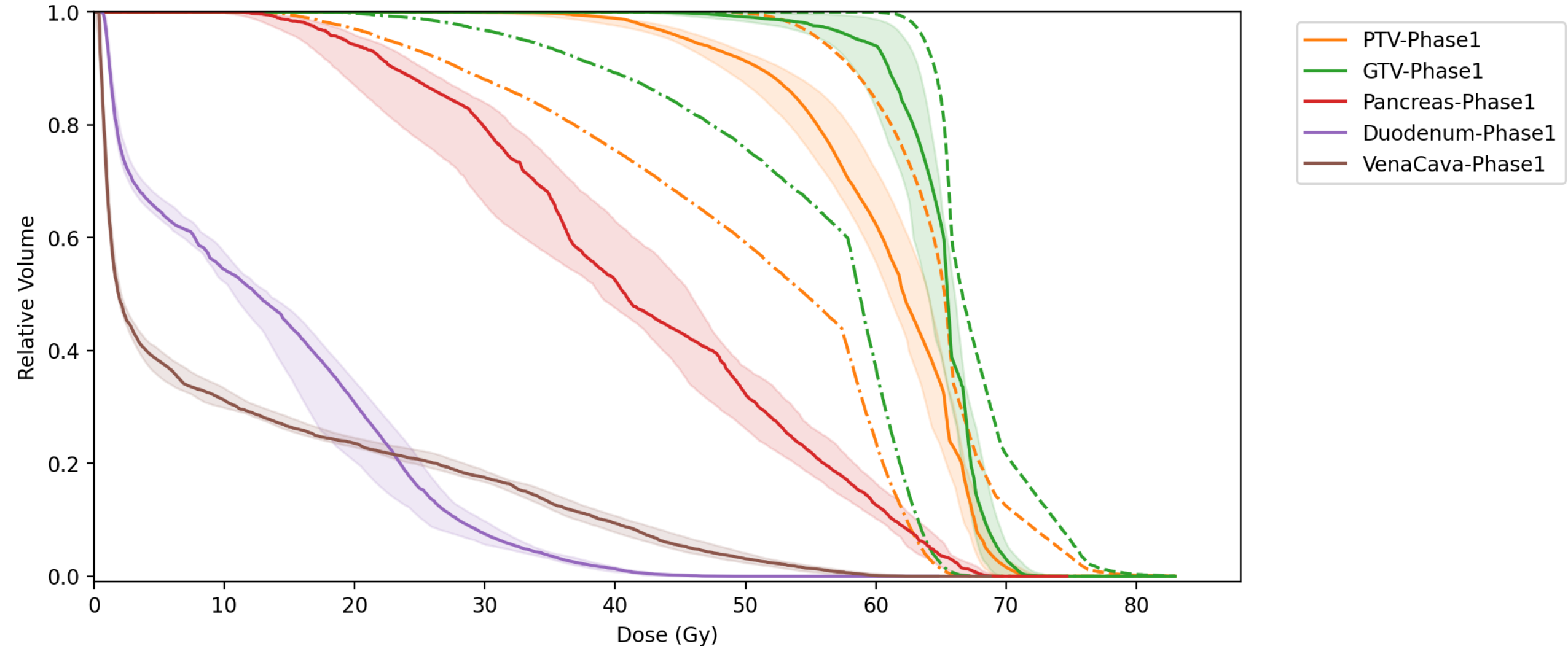




DVH for GTV, Blue lines: Prescription A, Red: Prescription B



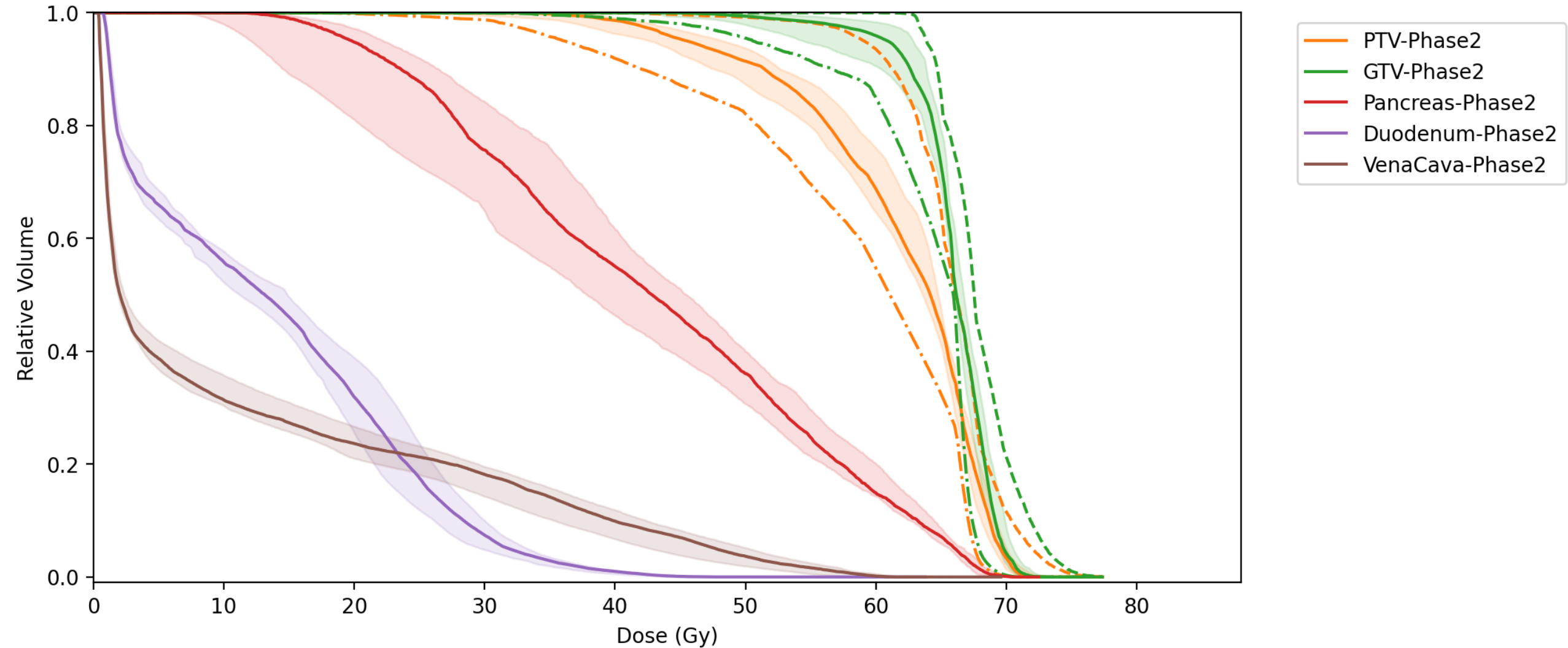
# Phase 1



Die durchgezogene Linien sind der Median der 18 Phase2 Kliniken, der schattierter Bereich ist der +25% Percentile

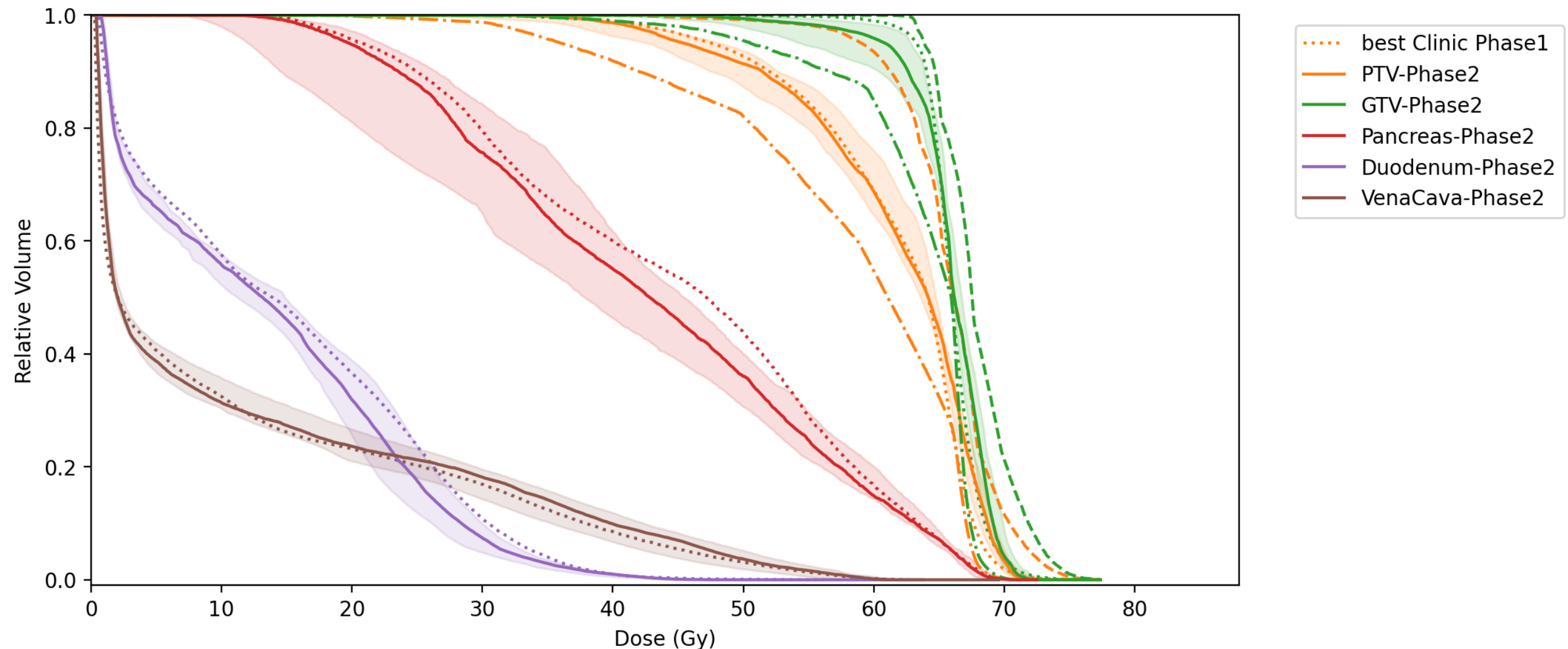
"Minimum '-' und Maximum '--' von PTV und GTV"

## Phase 2



Die durchgezogene Linien sind der Median der 18 Phase2 Kliniken, der schattierter Bereich ist der +25% Percentile  
"Minimum '-' und Maximum '--' von PTV und GTV"

# Phase 1 vs. 2



Die durchgezogene Linien sind der Median der 18 Phase2 Kliniken, der schattierter Bereich ist der +25% Percentile  
"Minimum '-' und Maximum '--' von PTV und GTV"



# Phase 1 vs. 2

SIP	Plan quality	Score Sum	Score final
Phase 1	Phase 1	Phase 1	Phase 1
na	3	12	2
na	4	17	4
na	4	18	4
na	4	21	4
na	4	13	3
na	5	13	3
na	5	14	3

## Planungsstudien...

- Verschreibung: **GTV<sub>D<sub>50%</sub></sub>**, GTV/PTVD<sub>near min</sub>, GTV/PTVD<sub>near max</sub>, D<sub>max</sub> = GTVD<sub>max</sub>
- Klinische Zielvorgaben für die Risikoorgane (Timmermann Tables)
- SIP-Konzept (ev. Kompromisse)

Verbesserung der Planqualität, Harmonisierung möglich

„...Innovative Radioonkologie im Team, präzise, **personalisiert**, menschlich...“  
(personalisiert ... Patient... nicht Planer...)

*Vielen Dank!*

Christos Moustakis